



طراحی بهینه پوسته استوانه‌ای هدفمند با لایه پیزوالکتریک تحت بار متحرک

فرید وکیلی تهامی^۱، رضا حسن‌نژاد قدیم^۲، آرش محمدعلیزاده فرد^۳، مرتضی رامین‌نیا^۳

۱- دانشیار، مهندسی مکانیک، دانشکده فنی مهندسی مکانیک، دانشگاه تبریز، تبریز

۲- استادیار، مهندسی مکانیک، دانشکده فنی مهندسی مکانیک، دانشگاه تبریز، تبریز

۳- دانشجوی دکتری، مهندسی مکانیک، دانشکده فنی مهندسی مکانیک، دانشگاه تبریز، تبریز

* تبریز، صندوق پستی ۵۱۶۶۶۱۴۷۶۶ f_vakili@tabrizu.ac.ir

چکیده

در این پژوهش به ارائه روشی برای تعیین توزیع بهینه درصد حجمی مواد در یک پوسته استوانه‌ای هدفمند با لایه پیزوالکتریک خارجی با هدف تنیده کردن سازه پرداخته شده است. بدین منظور، با ترکیب تئوری مرتبه اول برشی و معادله ماکسول با اصل همیلتون، معادلات حاکم استخراج شده و با استفاده از روابط کرنش-جابه‌جایی و تنش-کرنش، توزیع تنش دینامیک در پوسته به دست آمده است. تحلیل دینامیکی به علت وجود بار متحرک ضروری است چراکه جابه‌جایی‌ها، کرنش‌ها و تنش‌های دینامیک در مقایسه با مقدایر استاتیک قابل توجه‌اند. اثرات دینامیکی ناشی از حرکت بار در افزایش تنش‌ها، از طریق حل واپسی به زمان مسئله درنظر گرفته شده است و لذا پاسخ سازه و در نهایت توزیع تنش به صورت تابع زمان به دست آمده‌اند. در ادامه روشی برای بهینه‌سازی تدوین شده است که در آن به جای استفاده از توابع پیش‌فرض برای درصد حجمی مواد که محدودیت‌هایی از نظر تولید و نیز بررسی رفتار مکانیکی و بهینه‌سازی آنها اعمال می‌کنند، از تعدادی نقاط کنترلی در راستای ضخامت پوسته استفاده شده که درصد حجمی مواد در این نقاط به عنوان متغیر معرفی شده‌اند که در بین آنها با استفاده از روش میان‌یابی با توابع هرمیت درصد حجمی مواد پیش‌بینی شده است. برای انجام بهینه‌سازی، مقدار درصد حجمی مواد در این نقاط و همچنین خصامت لایه هدفمند به عنوان متغیرهای بهینه‌سازی معرفی شده‌اند. بهینه‌سازی با استفاده از الگوریتم ژنتیکی انجام گرفته است. نتایج بهینه‌سازی کارایی روش پیشنهادی را نشان می‌دهد. مزیت عمده این روش انعطاف‌پذیری آن در تعیین توزیع درصد حجمی مواد هدفمند در دیواره سازه است.

اطلاعات مقاله

مقاله پژوهشی کامل

دریافت: ۲۰ بهمن ۱۳۹۳

پذیرش: ۲۵ اردیبهشت ۱۳۹۴

ارائه در سایت: ۱۳ تیر ۱۳۹۴

کلید واژگان:

پوسته استوانه‌ای

مواد هدفمند

بار متحرک

بهینه‌سازی

روش نقاط کنترلی

Optimum design of functionally graded cylindrical shell with piezoelectric layer under moving load

Farid Vakili-Tahami*, Reza Hassannejad Qadim, Arash Mohammad Alizadeh Fard, Morteza Raminnia

Department of Mechanical Engineering, University of Tabriz, Tabriz, Iran.

* P.O.B. 5166614766 Tabriz, Iran, f_vakili@tabrizu.ac.ir

ARTICLE INFORMATION

Original Research Paper

Received 09 February 2015

Accepted 15 May 2015

Available Online 04 July 2015

Keywords:
Cylindrical Shell
Functionally Graded Materials
Moving Load
Optimization
Control Point Method

ABSTRACT

In this paper a method has been developed to obtain an optimum material distribution for a cylindrical shell with Functionally Graded (FG) material and additional piezoelectric outer layer. The objective of the optimization is to satisfy full stress loading criterion. For this purpose, firstly, a solution method has been outlined in which the governing equations are developed by combining First order Shear Deformation Theory (FSDT) and Maxwell equations, with the use of Hamilton principle. Dynamic analysis is a major concern in this solution method because of the significant dynamic displacements, strains and stresses due to the effect of moving load. Hence, the time dependent transient responses of the structure and stress distribution have been obtained. In the next stage, a methodology has been introduced to obtain the optimum material distribution. In this method, instead of using pre-assumed material distribution functions which impose limitations to the manufacturing of the shell and also to the optimization solution, control points with Hermite functions are used. The thickness of the shell and volume fraction of the FG material at these points have been regarded as optimization variables. The optimization method is based on the genetic algorithm and to reduce the solution time, calculations are carried out using parallel processing in four cores. The results show that the developed method is capable of analyzing the FG structures and provides optimum solution. The major advantage of this method is its flexibility in providing volume fraction distribution of the material.

نیاز به تأمین توأم مخصوصیات متفاوت مثل مقاومت در برابر بار و درجه

حرارت، منجر به معرفی و تولید مواد هدفمند با قابلیت‌های متفاوت و تغییرات

خواص پیوسته در جهات مختلف شده است. مواد هدفمند، کامپوزیت‌های

-۱- مقدمه

با پیشرفت سریع تکنولوژی، نیاز به استفاده از مواد جدید به عنوان اولویت

مهندسی در سیستم‌های پیشرفته مطرح شده است. در برخی از این موارد،

Please cite this article using:

F. Vakili-Tahami, R. Hassannejad Qadim, A. Mohammad Alizadeh Fard, M. Raminnia, Optimum design of functionally graded cylindrical shell with piezoelectric layer under moving load, *Modares Mechanical Engineering*, Vol. 15, No. 8, pp. 291-300, 2015 (In Persian)

برای ارجاع به این مقاله از عبارت ذیل استفاده نمایید:

تأثیر لایه‌های پیزوالکتریک و تغییر گرادیان مواد هدفمند را بر روی رفتار مکانیکی پوسته مطالعه نموده‌اند. در سال 2011 میلادی اکبری الشتری و خرسند [12] به حل سه‌بعدی حرارتی-مکانیکی یک پوسته استوانهای هدفمند با لایه پیزوالکتریک و با استفاده از روش کوادراتور دیفرانسیلی پرداخته‌اند. آنها با فرض یک توزیع توانی برای گرادیان مواد در راستای ضخامت، نتایج عددی را با شرایط مرزی متفاوت به دست آورده و تأثیر ضخامت لایه‌های پیزوالکتریک و تغییر توزیع گرادیان مواد و نسبت ضخامت به شعاع پوسته را روی نتایج نشان داده‌اند. در سال 2014 میلادی جعفری و همکارانش [13] ارتعاشات غیرخطی پوسته استوانهای هدفمند با لایه پیزوالکتریک را مورد بررسی قرار داده‌اند. آنها بر اساس تئوری غیرخطی دانل و به روش شبه‌تحلیلی پاسخ دینامیکی سیستم را به دست آورده‌اند. آنها در بررسی خود تأثیر نیروهای القایی و ولتاژ اعمالی بر روی رفتار ارتعاشی سیلندر استوانهای هدفمند را بررسی نموده‌اند. با وجود این موارد، مطالعات کمی بر روی طراحی بهینه توزیع مواد هدفمند تابعی از نحوه ترکیب فازهای گرفته است. از آنجا که عملکرد مواد هدفمند تابعی از نحوه ترکیب فازهای تشکیل دهنده می‌باشد، از این‌رو استفاده بهینه از مواد ضمن تامین اهداف طراحی، در جهت کاهش هزینه تمام شده اهمیت ویژه‌ای دارد. بر این اساس، بهینه‌سازی توزیع مواد یک گام اساسی در طراحی سازه‌های با مواد هدفمند است که نیاز به شبیه‌سازی این سازه‌ها، بیشتر بررسی‌ها سعی در کاهش تنش‌های حرارتی داشته [14-18] و برخی دیگر در زمینه کمینه‌سازی تنش‌های مکانیکی انجام گرفته‌اند [19-23]. در سال 2002 میلادی، چو و ها [24] به بهینه‌سازی کسر حجمی مواد هدفمند در پوشش حرارتی Ni-Al₂O₃ به منظور کمینه‌سازی تنش‌های حرارتی حالت پایا با استفاده از تکنیک بهینه‌سازی تابع جریمه داخلی و روش انتخاب طلایی پرداخته‌اند. در سال 2005 میلادی کیان و باترا [25] فرکانس‌های طبیعی بهینه در یک صفحه هدفمند با گرادیان دوسویه را تعیین نموده‌اند. ایشان با استفاده از الگوریتم ژنتیک به طراحی بهینه توزیع گرادیان مواد با هدف کمینه نمودن فرکانس طبیعی اول و یا دوم سازه پرداخته‌اند. در سال 2006 میلادی، گوبی و ول [26] کاربرد روش المان آزاد گالرکین را در طراحی بهینه رفتار ترمولاستیسیک ماده هدفمند بررسی کرده‌اند. آنها پس از تعیین کسر حجمی سرامیک در تعدادی از نقاط، توزیع مواد را با استفاده از میان‌یابی تعیین و سپس به کمک الگوریتم ژنتیک به کمینه‌سازی وزن سازه و تنش حرارتی بیشینه پرداخته‌اند. در سال 2009 میلادی نعمت‌الله [27] به تعیین توزیع گرادیان بهینه با هدف کمینه‌سازی تنش‌های حرارتی پرداخته است. لازم به ذکر است در تحقیق وی، کسر حجمی مواد با استفاده از قانون توانی تعیین شده است. در سال 2014 میلادی، اشجاری و خوشروان [28] به بهینه‌سازی وزن ورق هدفمند با وجود قیدهای تنش و جابه‌جایی پرداختند. ایشان برای بهینه‌سازی از نقاط کنترلی استفاده کرده و بهینه‌سازی را با استفاده از الگوریتم تجمع ذرات انجام داده‌اند. در همین سال طاهری و همکارانش [29] به بهینه‌سازی توزیع مواد در یک ورق هدفمند و با استفاده از روش حل ایزوژئومتریک و بهره‌گیری از نقاط کنترلی پرداخته‌اند.

در مقاله حاضر طراحی بهینه توزیع مواد و ضخامت لایه هدفمند در یک پوسته استوانهای هدفمند با رویه پیزوالکتریک به عنوان یک ساختار هوشمند مورد بررسی قرار گرفته است. بدین منظور ابتدا تنش‌های ناشی از اثرات دینامیکی با استفاده از تئوری مرتبه اول برشی و با استفاده از سری‌های فوریه

غیرهمگن پیشرفت‌های هستند که ساختارهای آن‌ها به صورت میکروسکوپی تغییر می‌کند تا خصوصیات مطلوب ماده را ارائه کنند. برای مثال در صورت نیاز به خصوصیات حرارتی یا مقاومت به سایش، می‌توان از لایه‌های با درصد حجمی بالای سرامیک در داخل لوله استفاده کرد. از طرف دیگر، در لایه‌های خارجی با افزایش درصد حجمی فلز، می‌توان استحکام لازم را جهت تحمل بارهای اعمال شده فراهم نمود. علاوه بر آن، تقاضا برای افزایش کارایی و حذف یا کاهش اثرات ناخواسته در سازه‌های پیشرفت‌ه موجب ایجاد تمایل به استفاده از مواد هوشمند متشکل از ترکیب لایه‌های هدفمند و لایه‌های پیزوالکتریک به عنوان سنسور یا عملکر شده است. ویژگی‌های مطلوب مواد هدفمند مانند استحکام و سختی بالا، مقاومت در برابر حرارت، انعطاف‌پذیری و مقاومت به سایش مطلوب، خواص الکتریکی و مغناطیسی باعث شده است که بتوان با استفاده از این مواد، قطعاتی کوچکتر، سبکتر، هوشمندتر و چند منظوره تولید کرد. به طور کلی می‌توان گفت که قابلیت تغییر درصد حجمی، امکان ایجاد خواص فیزیکی مطلوب را فراهم کرده است. نخستین بار این مواد در ژاپن و برای تولید عایق‌های حرارتی در تجهیزات فضایی [1] مطرح شدند. امروزه کاربرد این مواد رو به گسترش است؛ سلول‌های با لایه‌ی نازک فتوولتائیک در صنایع اپتیک، لنزهای مولدهای لیزر [2]، سپرها و عایق‌های حرارتی و مواردی از این دست جزء زمینه‌های بالقوه کاربرد مواد هدفمند هستند. همچنین این مواد در ساخت صفحات و پوسته‌های مخازن راکتورها و توربین‌ها [3] نیز کاربرد بالای دارند. این مواد و سازه‌های هوشمند در صنایع هوا-فضا، سامانه‌های کنترل تنش‌های حرارتی و مکانیکی، کنترل ارتعاشات فعال و پایش سلامت سازه به علت افزایش عملکرد و طول عمر آن‌ها، از اولویت خاصی برخوردارند. با توجه به کاربرد سازه‌های دارای این مواد در برابر بارهای متحرک که به علت تغییر نیرو در زمان و مکان، خیز و تنش‌های دینامیکی با مقدار زیاد به ویژه در سرعت‌های بالا ایجاد می‌کنند، بررسی رفتار سازه‌های هوشمند در معرض این گونه بارها اهمیت دوچندانی دارد [4-8]. در این میان، تمایل به دستیابی به طرح‌های بهینه موجب تشویق محققان به استفاده از روش‌های بهینه‌سازی در طراحی این سازه‌ها شده است. در سال‌های اخیر مطالعات زیادی بر روی رفتار ساختارهای هوشمند متشکل از مواد هدفمند با لایه پیزوالکتریک تحت بارهای حرارتی و مکانیکی انجام پذیرفته است. در سال 2004 میلادی لیو و همکارانش [9] کاربرد سنسور و عملکر پیزوالکتریک را برای کنترل ارتعاشات فعال یک پوسته هدفمند تحت دما را بررسی نموده‌اند. تحلیل ایشان بر اساس تئوری مرتبه اول برشی و با استفاده از روش المان محدود انجام گرفته است. در سال 2010 میلادی علی‌بیگلو و چن [10] به تحلیل الاستیک یک پوسته استوانهای هدفمند با لایه‌های پیزوالکتریک پرداخته‌اند. آنها با استفاده از سیستم سری‌های فوریه در راستای طولی و محیطی، معادله حرکت را به دست آورده و تأثیر توزیع گرادیان مواد، اعمال ولتاژ و نسبت شعاع بر ضخامت پوسته را روی رفتار استاتیکی پوسته هدفمند مطالعه نموده‌اند. در همین سال شنگ و وانگ [8] رفتار پوسته استوانهای هدفمند با لایه‌های پیزوالکتریک به عنوان سنسور و عملکر را تحت شوک حرارتی و بار متحرک بررسی نموده‌اند. آنها بر اساس تئوری مرتبه اول برشی و با استفاده از آنالیز مودال و روش نیومارک به تحلیل پاسخ دینامیکی سازه پرداخته‌اند. مطالعه دیگری در همین سال توسط علی‌بیگلو و نوری [11] انجام شده است. ایشان حل الاستیک سه‌بعدی یک پوسته استوانهای هدفمند با لایه پیزوالکتریک را با استفاده از روش کوادراتور دیفرانسیلی ارائه نموده و سپس اثر مستقیم و معکوس پیزوالکتریک،

از میانیابی استفاده کرد. با انتخاب $N+1$ نقطه کنترلی و تقسیم پوسته هدفمند به N بازه با ضخامت یکسان، موقعیت هر نقطه کنترلی را می‌توان با استفاده از رابطه‌ی (4) بدست آورد:

$$z_n = z_b + \frac{z_t - z_b}{N} (n-1), n = 1, \dots, N+1 \quad (4)$$

که در آن z_n , z_b و z_t به ترتیب موقعیت n امین، اولین و آخرین نقطه کنترلی می‌باشند. درصد حجمی مواد متناظر با نقطه کنترلی شماره n با λ_n نمایش داده شده و مقادیر درصد حجمی مواد و ضخامت لایه هدفمند به عنوان متغیرهای طراحی درنظر گرفته شده‌اند. پس از تعیین مقادیر درصد حجمی مواد در نقاط کنترلی، گرادیان مواد در بین این نقاط با استفاده از توابع میانیابی درجه سوم هرمیت³ (\bar{H}) با رابطه (5) تعیین شده است.

$$\lambda(z) = \lambda_n \bar{H}_1(z) + (z_{n+1} - z_n) S_n \bar{H}_2(z) + \lambda_{n+1} \bar{H}_3(z) + (z_{n+1} - z_n) S_{n+1} \bar{H}_4(z) \quad (5)$$

که در آن λ_n و S_n مقدار درصد حجمی و شبیه توزیع درصد حجمی مواد در نقطه کنترلی n می‌باشند. مقادیر \bar{H} با رابطه (6) بدست می‌آید [27]:

$$\begin{aligned} \bar{H}_1(z) &= B_0 \left(\frac{z - z_n}{z_{n+1} - z_n} \right) + B_1 \left(\frac{z - z_n}{z_{n+1} - z_n} \right) \\ \bar{H}_2(z) &= \frac{1}{3} B_1 \left(\frac{z - z_n}{z_{n+1} - z_n} \right) \\ \bar{H}_3(z) &= B_2 \left(\frac{z - z_n}{z_{n+1} - z_n} \right) + B_3 \left(\frac{z - z_n}{z_{n+1} - z_n} \right) \\ \bar{H}_4(z) &= -\frac{1}{3} B_2 \left(\frac{z - z_n}{z_{n+1} - z_n} \right) \end{aligned} \quad (6)$$

که در آن B_k مطابق رابطه (7) چندجمله‌ای برنشتاین است [30]:

$$B_k(t) = \binom{3}{k} t^k (1-t)^{3-k} \quad (7)$$

همچنین شبیه توزیع درصد حجمی مواد با رابطه (8) تعریف می‌شود [28]:

$$\begin{aligned} S_1 &= \frac{4\lambda_2 - 3\lambda_1 - \lambda_3}{2(z_{n+1} - z_n)}, S_{N+1} = \frac{-4\lambda_N + 3\lambda_{N+1} + \lambda_{N-1}}{2(z_{n+1} - z_n)} \\ S_n &= \frac{\lambda_{n+1} - \lambda_{n-1}}{2(z_{n+1} - z_n)}, n = 2, 3, \dots, N \end{aligned} \quad (8)$$

4- تعیین خواص معادل

با توجه به اینکه مواد هدفمند از دو یا چند فاز متفاوت تشکیل شده‌اند، خواص مؤثر این مواد باید از طریق کسرهای حجمی و مشخصات فازهای تشکیل‌دهنده تعیین شوند. بدین‌منظور در این بررسی مطابق رابطه (9) از قانون اختلاط برای تعیین خواص معادل استفاده شده است [31]:

$$P_{eff}(z) = \sum_{j=1}^M P_j \lambda_j, \sum_{j=1}^M \lambda_j = 1 \quad (9)$$

که در آن P_j خاصیت فیزیکی مورد بحث برای ماده j ام و M تعداد کل مواد است. خواص فیزیکی مفروض برای مواد در جداول 1 و 2 [33.32] قابل مشاهده‌اند. با توجه به بازه تغییرات کوچک ضریب پواسون [11]، اثر تغییرات آن قابل چشم‌پوشی است و برای تمام مواد برابر با 0.3 فرض شده است. برای تعیین تنش تسلیم معادل، از مدل هاشین-اشتریکمن [34] استفاده شده است. دو حد بالا و پایین این مدل به ترتیب در روابط (10) و (11) مشاهده می‌شوند که در آنها $S_y^{(1)}$ و $S_y^{(2)}$ به ترتیب تنش‌های تسلیم فاز ضعیف و قوی و V_1 و V_2 درصدهای حجمی متناظر با هریک از این دو فازند [34].

$$S_y = \frac{5V_2}{3 + 2V_2} S_y^{(2)} + \frac{3V_1}{3 + 2V_2} S_y^{(1)} \sqrt{1 + \frac{2V_2}{3} [1 - (\frac{S_y^{(2)}}{S_y^{(1)}})^2]} \quad (10)$$

3- Cubic Hermite spline

به دست آمده و سپس با استفاده از معیار هاشین-اشتریکمن برای تعیین توزیع تنش تسلیم به بهینه‌سازی سازه با هدف رسیدن به سازه‌ای با بیشینه تنش مطلوب پرداخته شده است. باز جانبی اعمال شده متحرک بوده و نقطه اثر آن در طول پوسته با سرعت معینی در حرکت است. بهمین دلیل، در تحلیل رفتار سازه اثرات دینامیکی ناشی از حرکت بار می‌باید در نظر گرفته شود. در نتیجه تنش‌ها، کرنش‌ها و جابه‌جایی‌ها تابع زمان بوده و این اثر دینامیکی، موجب افزایش مقادیر تنش، کرنش و جابه‌جایی [4] نسبت به حالت بار ایستا می‌شود. به این دلیل، به‌جای معادلات تعادل، از معادلات حرکت وابسته به زمان استفاده شده و رفتار وابسته به زمان سازه بررسی شده است. برای بهینه‌سازی از نقاط کنترلی در لایه هدفمند و در طول ضخامت پوسته استفاده شده و به‌منظور کاهش زمان حل از پردازش موازی استفاده شده است. خواص معادل نیز با قانون اختلاط تعیین شده‌اند.

2- مشخصات مسئله

در پژوهش پیش‌رو، پوسته استوانه‌ای هدفمندی با شعاع میانی R ، ضخامت h و طول L مورد بررسی قرار گرفته است. فرض شده یک لایه پیزوالکتریک با ضخامت h_p بر روی پوسته هدفمند متصل شده باشد. هندسه شماتیک مسئله در شکل 1 قابل مشاهده است. لایه هدفمند ترکیب سیلیکون کاربید و آلومینیم 2024 و لایه پیزوالکتریک از جنس PZT-4 می‌باشند. همان‌طور که در شکل 1 قابل مشاهده است، ردیفی از بارها در راستای طولی استوانه با سرعت ثابت در حال حرکت است. رابطه (1) تابع توزیع بار را توصیف می‌کند:

$$f(x, t) = \sum_{i=1}^{N_p} F_i(t) \delta(x - x_i) \delta(\theta - \theta_i) \Pi_i(t) \quad (1)$$

که در آن $F_i(t)$ تابع تغییرات هریک از بارهای وارد با زمان و δ تابع دلتای دیراک¹ است. همچنین $\Pi_i(t)$ تابع باکسکار² و x مطابق روابط (2) و (3) است. در این رابطه، θ یا زاویه اعمال بار (زاویه موقعیت اعمال بار) در حقیقت همان زاویه‌ای نشان‌دهنده موقعیت اعمال بار مطابق شکل زیر می‌باشد؛ بدین معنی که در صورت صفر بودن زاویه، نیروی شعاعی جانب به مرکز از کnar لوله به صورت افقی اعمال می‌شود و یا در صورت 90 درجه بودن آن، این نیرو از بالا به صورت عمودی اعمال می‌شود.

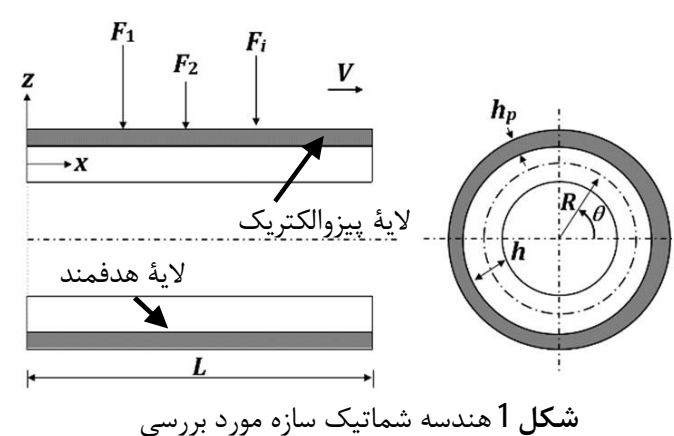
$$\Pi_i(t) = H(t - t_{i-1}) - H(t - t_{i-1} - t_L), t_L = \frac{L}{V} \quad (2)$$

$$x_i = V \Delta t_i, \Delta t_i = t - t_{i-1} \quad (3)$$

که در آن H نشان‌گر تابع پله‌ای هویساید و V سرعت حرکت بار می‌باشد.

3- الگوی توزیع مواد

به‌منظور یافتن گرادیان مواد بهینه در ماده هدفمند، می‌توان مقادیر درصد حجمی مواد بهینه را در نقاط کنترلی تعیین کرده و در فاصله بین این نقاط



شکل 1 هندسه شماتیک سازه مورد بررسی

1- Dirac Delta Function

2- Boxcar Function

در رابطه (14) انحنای صفحه میانی می‌باشد. ضرایب A , B , C و D نیز از روابط (16) و (17) تعیین می‌شوند [33]:

$$(A_{ij}, B_{ij}, D_{ij}) = \int_{-h/2}^{h/2} Q_{ij}(1, z, z^2) dz \quad (i, j = 1, 2, 6) \quad (16)$$

$$\begin{aligned} C_{44} &= \int_{-h/2}^{h/2} Q_{55} dz \\ C_{55} &= \int_{-h/2}^{h/2} Q_{44} dz \end{aligned} \quad (17)$$

برای لایه پیزوالکتریک رابطه تنش-کرنش و جابه‌جایی الکتریکی مطابق روابط (18) و (19) می‌باشد [13.8]:

$$\begin{Bmatrix} \sigma_x^p \\ \sigma_\theta^p \\ \tau_{x\theta}^p \\ \tau_{\theta z}^p \\ \tau_{xz}^p \end{Bmatrix} = \begin{Bmatrix} Q_{11e} & Q_{12e} & 0 & 0 & 0 \\ Q_{12e} & Q_{22e} & 0 & 0 & 0 \\ 0 & 0 & Q_{66e} & 0 & 0 \\ 0 & 0 & 0 & Q_{44e} & 0 \\ 0 & 0 & 0 & 0 & Q_{55e} \end{Bmatrix} \begin{Bmatrix} \bar{\varepsilon}_x \\ \bar{\varepsilon}_\theta \\ \bar{\gamma}_{x\theta} \\ \bar{\gamma}_{\theta z} \\ \bar{\gamma}_{xz} \end{Bmatrix}$$

$$- \begin{Bmatrix} 0 & 0 & e_{31e} \\ 0 & 0 & e_{32e} \\ 0 & 0 & e_{24e} \\ e_{15e} & 0 & 0 \end{Bmatrix} \begin{Bmatrix} E_x \\ E_\theta \\ E_\theta \\ E_z \end{Bmatrix} \quad (18)$$

$$\begin{Bmatrix} D_x \\ D_\theta \\ D_z \end{Bmatrix} = \begin{Bmatrix} 0 & 0 & 0 & e_{15e} & 0 \\ 0 & 0 & e_{24e} & 0 & 0 \\ e_{31e} & e_{32e} & 0 & 0 & 0 \end{Bmatrix} \begin{Bmatrix} \bar{\varepsilon}_x \\ \bar{\varepsilon}_\theta \\ \bar{\gamma}_{x\theta} \\ \bar{\gamma}_{\theta z} \\ \bar{\gamma}_{xz} \end{Bmatrix}$$

$$+ \begin{Bmatrix} \xi_{11e} & 0 & 0 \\ 0 & \xi_{22e} & 0 \\ 0 & 0 & \xi_{33e} \end{Bmatrix} \begin{Bmatrix} E_x \\ E_\theta \\ E_z \end{Bmatrix} \quad (19)$$

که در آن E میدان الکتریکی است که با توجه به روابط (20) به صورت تابعی از پتانسیل الکتریکی φ به دست می‌آید:

$$E_x = -\frac{\partial \varphi}{\partial x}, E_\theta = -\frac{1}{R+z} \frac{\partial \varphi}{\partial \theta}, E_z = -\frac{\partial \varphi}{\partial z} \quad (20)$$

تابع φ مطابق رابطه (21) تعیین می‌شود:

$$\varphi(x, \theta, z, t) = P(z_p)\psi(x, \theta, t) \quad (21)$$

که در آن P با رابطه (22) به دست می‌آید:

$$P(z_p) = \left[\left(z - \frac{h + h_p}{2} \right)^2 - \left(\frac{h_p}{2} \right)^2 \right] \quad (22)$$

منتجه‌های تنش لایه پیزوالکتریک با روابط (23) و (24) تعیین می‌شوند:

$$\begin{Bmatrix} N_x^P \\ N_\theta^P \\ N_{x\theta}^P \\ M_x^P \\ M_\theta^P \\ M_{x\theta}^P \end{Bmatrix} = \begin{Bmatrix} A_{11}^P & A_{12}^P & 0 & B_{11}^P & B_{12}^P & 0 \\ A_{21}^P & A_{22}^P & 0 & B_{21}^P & B_{22}^P & 0 \\ 0 & 0 & A_{66}^P & 0 & 0 & B_{66}^P \\ B_{11}^P & B_{12}^P & 0 & D_{11}^P & D_{12}^P & 0 \\ B_{21}^P & B_{22}^P & 0 & D_{21}^P & D_{22}^P & 0 \\ 0 & 0 & B_{66}^P & 0 & 0 & D_{66}^P \end{Bmatrix} \begin{Bmatrix} \varepsilon_x \\ \varepsilon_\theta \\ \gamma_{x\theta} \\ \kappa_x \\ \kappa_\theta \\ \kappa_{x\theta} \end{Bmatrix}$$

$$+ \begin{Bmatrix} N_x^E \\ N_\theta^E \\ N_{x\theta}^E \\ M_x^E \\ M_\theta^E \\ M_{x\theta}^E \end{Bmatrix} \quad (23)$$

$$\begin{Bmatrix} Q_x^P \\ Q_\theta^P \end{Bmatrix} = \begin{Bmatrix} C_{44}^P & 0 \\ 0 & C_{55}^P \end{Bmatrix} \begin{Bmatrix} \gamma_{xz} \\ \gamma_{\theta z} \end{Bmatrix} + \begin{Bmatrix} Q_x^E \\ Q_\theta^E \end{Bmatrix} \quad (24)$$

ضرایب A^P , B^P , C^P و D^P نیز از روابط (25) و (26) تعیین می‌شوند:

$$(A_{ij}^P, B_{ij}^P, D_{ij}^P) = \int_{h/2}^{h_p+h/2} Q_{ije}(1, z, z^2) dz \quad (i, j = 1, 2, 6) \quad (25)$$

جدول 1 خواص فیزیکی آلومینیم 2024 و سیلیکون کربید [32]

آلومینیم 2024	سیلیکون کربید	E (GPa)
440	78	
3190	2970	ρ (kg/m³)
490	112	S_y (MPa)

جدول 2 خواص فیزیکی مورد استفاده برای [33] PZT-4

[33] PZT-4	e_{31} (C/m²)	138/499	C_{11} (GPa)
-5/2	e_{32} (C/m²)	138/499	C_{22} (GPa)
15/08	e_{33} (C/m²)	114/745	C_{33} (GPa)
12/72	e_{24} (C/m²)	73/643	C_{13} (GPa)
12/72	e_{15} (C/m²)	73/643	C_{23} (GPa)
$1/306 \times 10^{-9}$	ζ_{11} (C²/Nm²)	77/371	C_{12} (GPa)
$1/306 \times 10^{-9}$	ζ_{22} (C²/Nm²)	25/6	C_{44} (GPa)
$1/115 \times 10^{-9}$	ζ_{33} (C²/Nm²)	25/6	C_{55} (GPa)
$0/25 \times 10^{-4}$	P (C/°Cm²)	30/6	C_{66} (GPa)
0/3	v	7500	ρ (kg/m³)

$$S_y = \begin{cases} \frac{2}{5} \sqrt{1 + \frac{3V_1}{2}} < \frac{S_y^{(2)}}{S_y^{(1)}} \leq 1 \text{ و } V_1 < 1 \text{ گری} \\ \frac{5V_1}{3 + 2V_1} S_y^{(1)} + \frac{3V_2}{3 + 2V_1} S_y^{(2)} \sqrt{1 + \frac{2V_1}{3}[1 - (\frac{S_y^{(1)}}{S_y^{(2)}})^2]} \\ S_y^{(2)} \sqrt{1 + \frac{3V_1}{2}} \text{ باشد، } \frac{S_y^{(2)}}{S_y^{(1)}} \leq \frac{2}{5} \sqrt{1 + \frac{3V_1}{2}} \text{ و } V_1 < 1 \text{ گری} \\ S_y^{(1)} \text{ باشد، } V_1 = 1 \end{cases} \quad (11)$$

5- تعیین میدان جابه‌جایی و مقادیر تنش-کرنش

بر مبنای تئوری مرتبه اول برشی جابه‌جایی‌ها در یک پوسته استوانه را می‌توان با استفاده از رابطه (12) تعیین کرد [36]:

$$\begin{aligned} u_1(x, \theta, z, t) &= u(x, \theta, t) + z\phi_1(x, \theta, t) \\ v_1(x, \theta, z, t) &= v(x, \theta, t) + z\phi_2(x, \theta, t) \\ w_1(x, \theta, z, t) &= w(x, \theta, t) \end{aligned} \quad (12)$$

که در آن (u, v, w) و (u_1, v_1, w_1) به ترتیب جابه‌جایی در صفحه میانی و جابه‌جایی در هر نقطه دلخواه می‌باشند. همچنین ϕ_1 و ϕ_2 به ترتیب چرخش عمود بر صفحات میانی در راستای محورهای x و θ می‌باشند.

برای پوسته هدفمند رابطه تنش-کرنش با رابطه (13) تعیین می‌شود:

$$\begin{Bmatrix} \sigma_x \\ \sigma_\theta \\ \tau_{x\theta} \\ \tau_{\theta z} \\ \tau_{xz} \end{Bmatrix} = \begin{Bmatrix} Q_{11} & Q_{12} & 0 & 0 & 0 \\ Q_{12} & Q_{22} & 0 & 0 & 0 \\ 0 & 0 & Q_{66} & 0 & 0 \\ 0 & 0 & 0 & Q_{44} & 0 \\ 0 & 0 & 0 & 0 & Q_{55} \end{Bmatrix} \begin{Bmatrix} \varepsilon_x \\ \varepsilon_\theta \\ \gamma_{x\theta} \\ \gamma_{\theta z} \\ \gamma_{xz} \end{Bmatrix} \quad (13)$$

که در آن ε و γ به ترتیب کرنش‌های عمودی و برشی در صفحه میانی می‌باشند. همچنین منتجه‌های تنش با روابط (14) و (15) تعیین می‌شوند.

$$\begin{Bmatrix} N_x \\ N_\theta \\ N_{x\theta} \\ M_x \\ M_\theta \\ M_{x\theta} \end{Bmatrix} = \begin{Bmatrix} A_{11} & A_{12} & 0 & B_{11} & B_{12} & 0 \\ A_{21} & A_{22} & 0 & B_{21} & B_{22} & 0 \\ 0 & 0 & A_{66} & 0 & 0 & B_{66} \\ B_{11} & B_{12} & 0 & D_{11} & D_{12} & 0 \\ B_{21} & B_{22} & 0 & D_{21} & D_{22} & 0 \\ 0 & 0 & B_{66} & 0 & 0 & D_{66} \end{Bmatrix} \begin{Bmatrix} \varepsilon_x \\ \varepsilon_\theta \\ \gamma_{x\theta} \\ \kappa_x \\ \kappa_\theta \\ \kappa_{x\theta} \end{Bmatrix} \quad (14)$$

$$\begin{Bmatrix} Q_x \\ Q_\theta \end{Bmatrix} = \begin{Bmatrix} C_{44} & 0 \\ 0 & C_{55} \end{Bmatrix} \begin{Bmatrix} \gamma_{xz} \\ \gamma_{\theta z} \end{Bmatrix} \quad (15)$$

$$\begin{aligned}
L_{11}u + L_{12}v + L_{13}w + L_{14}\phi_x + L_{15}\phi_\theta + L_{16}\psi_x \\
= (I_1 + I_1^P)\ddot{u} + (I_2 + I_2^P)\ddot{\phi}_x \\
L_{21}u + L_{22}v + L_{23}w + L_{24}\phi_x + L_{25}\phi_\theta + L_{26}\psi \\
= (I_1 + I_1^P)\ddot{v} + (I_2 + I_2^P)\ddot{\phi}_\theta \\
L_{31}u + L_{32}v + L_{33}w + L_{34}\phi_x + L_{35}\phi_\theta + L_{36}\psi \\
+ f(x, t) = (I_1 + I_1^P)\ddot{w} \\
L_{41}u + L_{42}v + L_{43}w + L_{44}\phi_x + L_{45}\phi_\theta + L_{46}\psi \\
= (I_2 + I_2^P)\ddot{u} + (I_3 + I_3^P)\ddot{\phi}_x \\
L_{51}u + L_{52}v + L_{53}w + L_{54}\phi_x + L_{55}\phi_\theta + L_{56}\psi \\
= (I_2 + I_2^P)\ddot{v} + (I_3 + I_3^P)\ddot{\phi}_\theta \quad (33)
\end{aligned}$$

معادله ماکسول نیز به شکل معادله (34) نوشته می‌شود [38]:

$$\int_{h/2}^{h/2+h_p} \left(\frac{\partial D_x}{\partial x} + \frac{1}{R} \frac{\partial D_\theta}{\partial \theta} + \frac{\partial D_z}{\partial z} + \frac{1}{R} D_z \right) dz = 0 \quad (34)$$

با جانشانی معادله (19) در (34) رابطه (35) به دست می‌آید:

$$L_{61}u + L_{62}v + L_{63}w + L_{64}\phi_x + L_{65}\phi_\theta + L_{66}\psi = 0 \quad (35)$$

ضرایب L_{ij} معادلات (33) و (35) در پیوست موجود است. در پژوهش

حاضر دو تکیه‌گاه ابتدا و انتهایی سازه از نوع تکیه‌گاه ساده فرض شده‌اند و از این رو، پاسخ‌های معادلات به صورت روابط (36) خواهند بود:

$$\begin{aligned}
u &= \sum_{m=0}^M \sum_{n=0}^N u_{mn}(t) \cos(\lambda_m x) \cos(n\theta) \\
v &= \sum_{m=1}^M \sum_{n=1}^N v_{mn}(t) \sin(\lambda_m x) \sin(n\theta) \\
w &= \sum_{m=1}^M \sum_{n=0}^N w_{mn}(t) \sin(\lambda_m x) \cos(n\theta) \\
\phi_x &= \sum_{m=0}^M \sum_{n=0}^N \phi_{mn}(t) \cos(\lambda_m x) \cos(n\theta) \\
\phi_\theta &= \sum_{m=1}^M \sum_{n=1}^N \bar{\phi}_{mn}(t) \sin(\lambda_m x) \sin(n\theta) \\
\psi &= \sum_{m=1}^M \sum_{n=0}^N \psi_{mn}(t) \sin(\lambda_m x) \cos(n\theta) \quad (36)
\end{aligned}$$

که در آن مقادیر (37) برقرارند:

$$\lambda_m = \frac{m\pi}{L} \quad (37)$$

با جانشانی معادلات (36) در (33) و (35) روابط (38) به دست می‌آیند:

$$\begin{aligned}
T_{11}u_{mn} + T_{12}v_{mn} + T_{13}w_{mn} + T_{14}\phi_{mn} + T_{15}\bar{\phi}_{mn} \\
+ T_{16}\psi_{mn} + (I_1 + I_1^E)\ddot{u}_{mn}(t) \\
+ (I_2 + I_2^E)\ddot{\phi}_{mn}(t) = 0 \\
T_{21}u_{mn} + T_{22}v_{mn} + T_{23}w_{mn} + T_{24}\phi_{mn} + T_{25}\bar{\phi}_{mn} \\
+ T_{26}\psi_{mn} + (I_1 + I_1^E)\ddot{v}_{mn}(t) \\
+ (I_2 + I_2^E)\ddot{\bar{\phi}}_{mn}(t) = 0 \\
T_{31}u_{mn} + T_{32}v_{mn} + T_{33}w_{mn} + T_{34}\phi_{mn} + T_{35}\bar{\phi}_{mn} \\
+ T_{36}\psi_{mn} + (I_1 + I_1^E)\ddot{w}_{mn}(t) \\
= \frac{2}{\pi L} \sum_{i=1}^{N_p} F_i(t) \sin[\lambda_m x_i(t)] \cos(n\theta_0) \\
T_{41}u_{mn} + T_{42}v_{mn} + T_{43}w_{mn} + T_{44}\phi_{mn} + T_{45}\bar{\phi}_{mn} \\
+ T_{46}\psi_{mn} + (I_2 + I_2^E)\ddot{u}_{mn}(t) \\
+ (I_3 + I_3^E)\ddot{\phi}_{mn}(t) = 0 \\
T_{51}u_{mn} + T_{52}v_{mn} + T_{53}w_{mn} + T_{54}\phi_{mn} + T_{55}\bar{\phi}_{mn} \\
+ T_{56}\psi_{mn} + (I_2 + I_2^E)\ddot{v}_{mn}(t) \\
+ (I_3 + I_3^E)\ddot{\bar{\phi}}_{mn}(t) = 0 \\
T_{61}u_{mn} + T_{62}v_{mn} + T_{63}w_{mn} + T_{64}\phi_{mn} + T_{65}\bar{\phi}_{mn} \\
+ T_{66}\psi_{mn} = 0 \quad (38)
\end{aligned}$$

در دسته معادلات (38)، ضرایب T_{ij} با توجه به ضرایب L_{ij} تعیین می‌شوند. با

$$\begin{aligned}
C_{44}^P &= \int_{\frac{h}{2}}^{h_p + \frac{h}{2}} Q_{55e} dz \\
C_{55}^P &= \int_{h/2}^{h_p + h/2} Q_{44e} dz \quad (26)
\end{aligned}$$

برای تعیین منتجه‌های پیزوالکتریک نیز می‌توان روابط (27) را نوشت:

$$\begin{aligned}
\begin{Bmatrix} N_x^E \\ N_\theta^E \\ N_{x\theta}^E \end{Bmatrix} &= \begin{Bmatrix} 2e_{31e} \int_{h/2}^{h/2+h_p} z_p dz \\ 2e_{32e} \int_{h/2}^{h/2+h_p} z_p dz \\ 0 \end{Bmatrix} \psi \\
\begin{Bmatrix} M_x^E \\ M_\theta^E \\ M_{x\theta}^E \end{Bmatrix} &= \begin{Bmatrix} 2e_{31e} \int_{h/2}^{h/2+h_p} zz_p dz \\ 2e_{32e} \int_{h/2}^{h/2+h_p} zz_p dz \\ 0 \end{Bmatrix} \psi \\
Q_x^E &= e_{15} \int_{\frac{h}{2}}^{h_p + h_p} P(z_p) dz \frac{\partial \psi}{\partial x} \\
Q_x^E &= e_{24} \int_{h/2}^{h/2+h_p} \frac{P(z_p)}{R+z} dz \frac{\partial \psi}{\partial \theta} \quad (27)
\end{aligned}$$

با توجه به رابطه (1)، کار بار متحرک به صورت رابطه (28) است [37]:

$$W_p = \int \int \sum_{i=1}^{N_p} F_i(t) \delta(x - x_i) \delta(\theta - \theta_i) U_i(t) w(x, \theta, t) R d\theta dx \quad (28)$$

با تلفیق تئوری مرتبه اول برشی و اصل همیلتون، معادلات حرکت (29) برای پیوسته استوانه‌ای هدفمند با لایه پیزوالکتریک به دست می‌آیند:

$$\begin{aligned}
\frac{\partial(N_x + N_x^P)}{\partial x} + \frac{1}{R} \frac{\partial(N_{x\theta} + N_{x\theta}^P)}{\partial \theta} &= (I_1 + I_1^P)\ddot{u} + (I_2 + I_2^P)\ddot{\phi}_x \\
\frac{\partial(N_{x\theta} + N_{x\theta}^P)}{\partial x} + \frac{1}{R} \frac{\partial(N_\theta + N_\theta^P)}{\partial \theta} + \frac{1}{R} (Q_\theta + Q_\theta^P) &= (I_1 + I_1^P)\ddot{v} + (I_2 + I_2^P)\ddot{\phi}_\theta \\
\frac{\partial(Q_x + Q_x^P)}{\partial x} + \frac{1}{R} \frac{\partial(Q_\theta + Q_\theta^P)}{\partial \theta} - \frac{1}{R} (N_\theta + N_\theta^P) + f(x, t) &= (I_1 + I_1^P)\ddot{w} \\
\frac{\partial(M_{x\theta} + M_{x\theta}^P)}{\partial x} + \frac{1}{R} \frac{\partial(M_{x\theta} + M_{x\theta}^P)}{\partial \theta} - (Q_\theta + Q_\theta^P) &= (I_2 + I_2^P)\ddot{u} + (I_3 + I_3^P)\ddot{\phi}_x \\
\frac{\partial(M_{x\theta} + M_{x\theta}^P)}{\partial x} + \frac{1}{R} \frac{\partial(M_\theta + M_\theta^P)}{\partial \theta} - (Q_\theta + Q_\theta^P) &= (I_2 + I_2^P)\ddot{v} + (I_3 + I_3^P)\ddot{\phi}_\theta \quad (29)
\end{aligned}$$

در این روابط کرنش‌ها، انحنایها و ممان‌های اینرسی جرمی به ترتیب مطابق

روابط (30) تا (32) تعريف می‌شوند:

$$\begin{aligned}
\varepsilon_x &= \frac{\partial u}{\partial x}, \varepsilon_\theta = \frac{1}{R} \left(\frac{\partial v}{\partial \theta} + w \right) \\
\gamma_{x\theta} &= \frac{\partial v}{\partial x} + \frac{1}{R} \frac{\partial u}{\partial \theta}, \gamma_{xz} = \phi_x + \frac{\partial w}{\partial x}, \gamma_{\theta z} = \phi_\theta + \frac{1}{R} \frac{\partial w}{\partial \theta} \quad (30)
\end{aligned}$$

$$\kappa_x = \frac{\partial \phi_x}{\partial x}, \kappa_\theta = \frac{1}{R} \frac{\partial \phi_\theta}{\partial \theta}, \kappa_{x\theta} = \frac{\partial \phi_\theta}{\partial x} + \frac{1}{R} \frac{\partial \phi_x}{\partial \theta} \quad (31)$$

$$\begin{aligned}
(I_1, I_2, I_3) &= \int_{-\frac{h}{2}}^{\frac{h}{2}} \rho_{eff}(z) (1, z, z^2) dz \\
(I_1^P, I_2^P, I_3^P) &= \int_{h/2}^{h/2+h_p} \rho^P (1, z, z^2) dz \quad (32)
\end{aligned}$$

با جانشانی معادلات (14)، (15)، (16)، (17)، (18)، (19)، (20) و (21) در معادلات حرکت، معادلات (33) به دست می‌آید:

والدین از روش وزن‌دهی بر اساس رتبه استفاده شده است [40]. بدین منظور احتمال متناظر با هر رتبه (n) با رابطه (48) محاسبه می‌شود:

$$P_n = \sum_{i=1}^n \frac{\bar{N} - n + 1}{\sum_{n=1}^{\bar{N}} n} \quad (48)$$

که در آن \bar{N} تعداد اعضای جمعیت باقی‌مانده است که برابر با نصف جمعیت کل است. برای انتخاب والدین، پس از محاسبه مقدار رابطه (48) برای هریک از اعضای جمعیت، با انتخاب دو عدد تصادفی هریک از والدین انتخاب می‌شوند. پس از انتخاب پدر و مادر، با اعمال عملگر تقاطع پیوسته روی تمامی جمعیت باقی‌مانده، هر جفت از والدین دو فرزند تولید کرده و با توجه به حذف نصف جمعیت در مراحل قبل، تعداد اعضای جمعیت ثابت خواهد ماند. عملگر تقاطع برای جلوگیری از همگرایی الگوریتم در کمینه محلی، از عملگر جهش استفاده شده است. پس از این مرحله مقدار تابع هدف به ازای هر یک از داده‌های جدید حساب شده و مراحل فوق تا همگرایی الگوریتم به جواب بهینه ادامه یافته است. برای اعمال قیود، تابع جریمه به کار گرفته شده است. برای مثال، تابع جریمه در قید نمونه مطرح در رابطه (49)، به شکل رابطه (50) می‌باشد:

$$g(x) \geq g_0 \quad (49)$$

$$\hat{J} = J + \kappa \max\{0, [g_0 - g(x)]\} \quad (50)$$

که در این روابط g_0 مقدار حدی قید و ز نشان‌دهنده تابع هدف پس از اعمال جریمه می‌باشد. مقدار ضریب جریمه (κ) عددی نسبتاً بزرگ انتخاب می‌شود تا منجر به رعایت قیود شود.

به منظور استفاده از قابلیت پردازش موازی، با توجه به زمان بر بودن محاسبه مقدار تابع هدف، جمعیت به چهار قسمت تقسیم شده و محاسبات برای هریک از زیرجمعیت‌ها توسط حلقه‌های با پردازش موازی در یکی از هسته‌های کامپیوتر انجام یافته است تا زمان بهینه‌سازی کاهش یابد.

6-2-فرمول‌بندی مسئله بهینه‌سازی

در این بررسی با استفاده از روش الگوریتم ژنتیکی به تعیین ضخامت و توزیع بهینه مواد در لایه هدفمند پرداخته شده است.

تابع هدف و قید مطرح در مسئله به صورت رابطه (51) می‌باشد:

$$\int_{\frac{s_y}{\hat{\sigma}}}^{(\frac{s_y}{\hat{\sigma}} - FS)} dz \quad \text{کمینه‌سازی تابع} \quad (51)$$

با توجه به قید

که در آن $\hat{\sigma}$ بیشینه مقادیر میدان تنش معادل در راستای z برای کل بازه‌ی زمان و در دو راستای طول و زاویه است. برای محاسبه مقدار $\hat{\sigma}$ ابتدا مقدار تنش معادل فون-مایسز (σ^*) با استفاده از رابطه (52) محاسبه شده و سپس بیشترین مقدار تنش برای هر نقطه در راستای z در بازه‌ی زمانی، طول قطعه و بازه زاویه موجود محاسبه می‌شود.

$$\sigma^* = \sqrt{(\sigma_x - \sigma_\theta)^2 + \sigma_x^2 + \sigma_\theta^2 + 6(\tau_{x\theta}^2 + \tau_{xz}^2 + \tau_{\theta z}^2)} \quad (52)$$

در محاسبات بهینه سازی، متغیرهای طراحی ضخامت لایه هدفمند و مقدار کسرهای حجمی در هریک از نقاط کنترلی می‌باشند.

7-نتایج

7-1-اعتبارسنجی

به منظور اعتبارسنجی روش حل تحلیلی-عددی که جزئیات آن در بخش‌های قبل ارائه شده است، نتایج به دست آمده برای الگوی توزیع درصد حجمی مواد مطابق با رابطه (53) با نتایج مرجع [8] مقایسه شده است.

توجه به آخرین معادله از دسته معادلات (38)، پتانسیل الکتریکی القا شده به صورت معادله (39) به دست می‌آید:

$$\psi_{mn} = \frac{1}{T_{66}} [-T_{61}u_{mn} - T_{62}v_{mn} - T_{63}w_{mn} - T_{64}\phi_{mn} - T_{65}\bar{\phi}_{mn}] \quad (39)$$

با جانشانی رابطه (39) در پنج معادله نخست (38)، معادلات حاکم بر مسئله به شکل رابطه (40) به دست می‌آیند:

$$[M]\{\ddot{q}\} + \left([K_E] - \frac{1}{T_{66}} \{K_{P1}\}\{K_{P2}\}^T \right) \{q\} = \{F_M\} \quad (40)$$

که در آن روابط (41) تا (46) برقرارند:

$$[M] = \begin{bmatrix} I_1 + I_1^P & 0 & 0 & I_2 + I_2^P & 0 \\ 0 & I_1 + I_1^P & 0 & 0 & I_2 + I_2^P \\ 0 & 0 & I_1 + I_1^P & 0 & 0 \\ I_2 + I_2^P & 0 & 0 & I_3 + I_3^P & 0 \\ 0 & I_2 + I_2^P & 0 & 0 & I_3 + I_3^P \end{bmatrix} \quad (41)$$

$$[K_E] = \begin{bmatrix} T_{11} & T_{12} & T_{13} & T_{14} & T_{15} \\ T_{21} & T_{22} & T_{23} & T_{24} & T_{25} \\ T_{31} & T_{32} & T_{33} & T_{34} & T_{35} \\ T_{41} & T_{42} & T_{43} & T_{44} & T_{45} \\ T_{51} & T_{52} & T_{53} & T_{54} & T_{55} \end{bmatrix} \quad (42)$$

$$\{K_{P1}\}^T = \{T_{16} \ T_{26} \ T_{36} \ T_{46} \ T_{56}\} \quad (43)$$

$$\{K_{P2}\}^T = \{T_{61} \ T_{62} \ T_{63} \ T_{64} \ T_{65}\} \quad (44)$$

$$\{q\}^T = \{u_{mn} \ v_{mn} \ \phi_{mn} \ \bar{\phi}_{mn}\}^T \quad (45)$$

$$\{F_M\}^T = \left\{ 0 \ 0 \ \frac{2}{\pi L} \sum_{i=1}^{N_p} F_i(t) \sin[\lambda_m x_i(t)] \cos(n\theta_0) \ 0 \ 0 \right\} \quad (46)$$

در روابط فوق $\{F_M\}^T$ نیروهای مربوط به بار متحرک است. برای حل دستگاه فوق از روش حل نیومارک [39] استفاده شده است.

6-بهینه‌سازی

شكل کلی مسئله بهینه‌سازی موجود به صورت رابطه (47) بیان می‌شود:

$$J(\lambda, p) \quad \text{کمینه‌سازی تابع}$$

$$g(\lambda, p) \leq 0 \quad \text{با توجه به قید}$$

$$\begin{aligned} \lambda_{i,LB} \leq \lambda_i \leq \lambda_{i,UB} \quad (i = 1, \dots, m) \\ \lambda = [\lambda_1, \dots, \lambda_i, \dots, \lambda_m] \end{aligned} \quad (47)$$

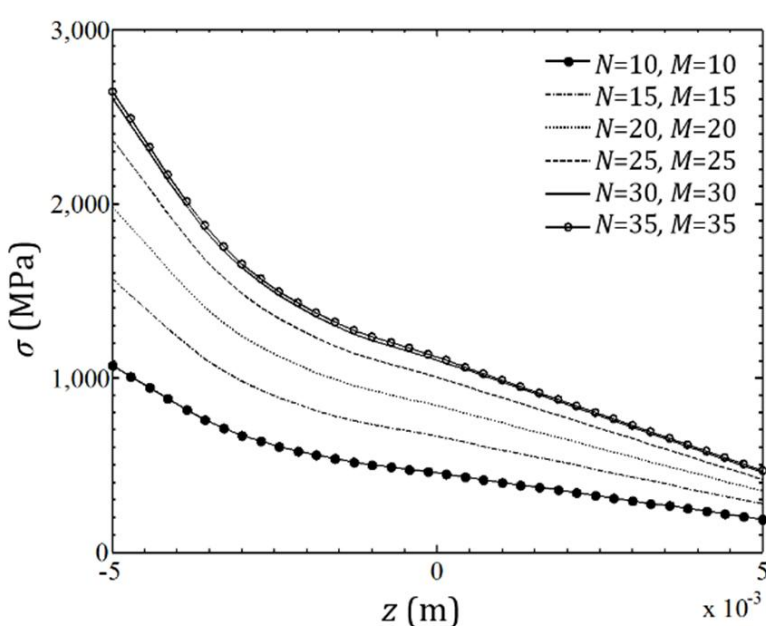
که در آن J و p به ترتیب تابع هدف، بردار متغیرهای طراحی و بردار ثوابت می‌باشند. هر متغیر طراحی بین دو حد پایین ($\lambda_{i,LB}$) و بالا ($\lambda_{i,UB}$) محدود شده است. بهینه‌سازی شامل دسته‌ای از قیود (g) است. در این بررسی، مسئله بهینه‌سازی با الگوریتم ژنتیکی حل شده است. با توجه به حجم محاسبات و زمان بر بودن حل آن‌ها، از پردازش موازی استفاده شده است.

6-1-الگوریتم ژنتیکی

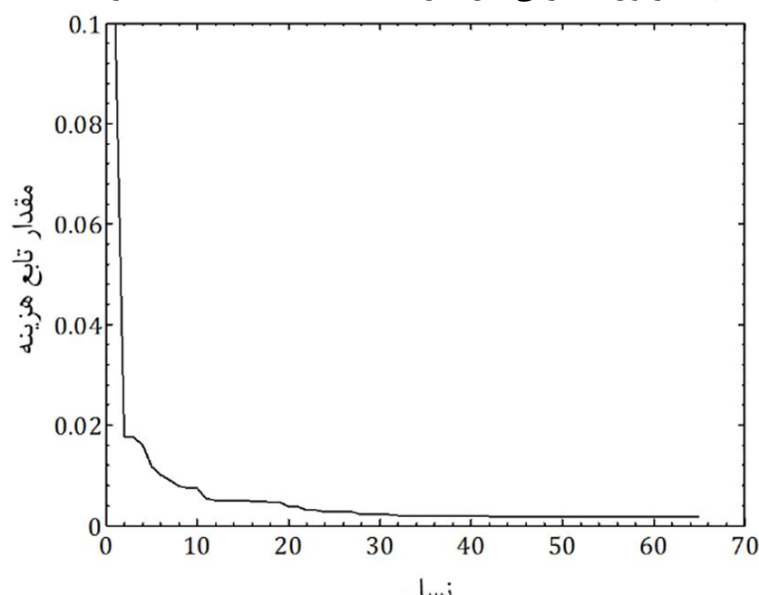
الگوریتم ژنتیکی یک روش جستجو و بهینه‌سازی بر پایه انتخاب طبیعی است. این الگوریتم جمعیت داده‌ها را تحت قانون انتخابی مشخصی بهبود می‌دهد. برای بهینه‌سازی با این الگوریتم، ابتدا یک جمعیت اولیه تولید می‌شود. در بررسی حاضر هر عضو جمعیت برداری شامل درصد حجمی مواد در نقاط کنترلی و ضخامت لایه هدفمند می‌باشد. در مرحله‌ی بعد مقادیر جمعیت بر حسب تابع هدف، ارزیابی و مرتب می‌شوند. سپس با انتخاب والدین از میان داده‌های باقی‌مانده، داده‌های جدید تولید می‌شود. در این بررسی برای انتخاب

در این قسمت ابتدا، تعداد جملات سری‌ها به منظور تعیین همگرایی سری‌های موجود در رابطه (36) مورد بررسی قرار گرفته است. بدین منظور تنش مؤثر در طول ضخامت پوسته به دست آمده با تعداد جمله‌های مختلف در شکل 3 رسم شده است. همان‌طور که در این شکل دیده می‌شود، با افزایش تعداد جملات سری‌ها، مقدار تنش محاسبه شده همگرا شده به‌طوری که در مقدار 30 جمله، تغییرات تنش ناچیز می‌باشد. بهمین دلیل، روش حل تحلیلی- عددی با همین تعداد جمله انجام شده و از پاسخ‌های حاصل در بهینه‌سازی به کمک الگوریتم ژنتیک استفاده شده است. برای انجام بهینه‌سازی با الگوریتم ژنتیک، تعداد اعضای جمعیت و نرخ جهش به ترتیب برابر با 20 عضو و پنج درصد در نظر گرفته شده است. نمودار همگرایی در شکل 4 قابل مشاهده است. در این نمودار، تغییراتتابع هدف تعریف شده مطابق رابطه (53) با تعداد نسل‌های متفاوت نشان داده شده است.

چنان‌چه از شکل 4 مشاهده می‌شود، مقدار تابع هدف پس از 45 نسل، تغییری ندارد. همچنین، به منظور اطمینان از استقلال پاسخ بهینه از شرایط اولیه و متغیرهای تصادفی آن، بهینه‌سازی در دفعات متعدد با مقادیر اولیه و تصادفی متفاوت تکرار شده و مشاهده شده است که تمامی حل‌ها به یک پاسخ مشابه منجر می‌شوند. مقایسه میان بیشینه مقادیر میدان تنش معادل (σ) در طول ضخامت پوسته، با تنש مجاز (S_y/FS) در شکل 5 قابل مشاهده است. چنان‌که مشاهده می‌شود، این دو مقدار برهمنطاب بوده و بنابراین از این نظر، توزیع درصد حجمی مواد در طول ضخامت پوسته به صورت بهینه می‌باشد. درصد حجمی ذرات سیلیکون کاربید لازم در راستای ضخامت، برای این حالت بهینه نیز در شکل 6 دیده می‌شود. لازم به ذکر است که مقدار ضخامت لایه هدفمند حاصل از بهینه‌سازی برابر با 9.6×10^{-3} متر می‌باشد.



شکل 3 آزمون همگرایی حل بهازی تعداد جمله‌های مختلف سری



شکل 4 نمودار همگرایی الگوریتم ژنتیک

$$\lambda(z) = \left(\frac{z}{h} + \frac{1}{2}\right)^{\phi} \quad (53)$$

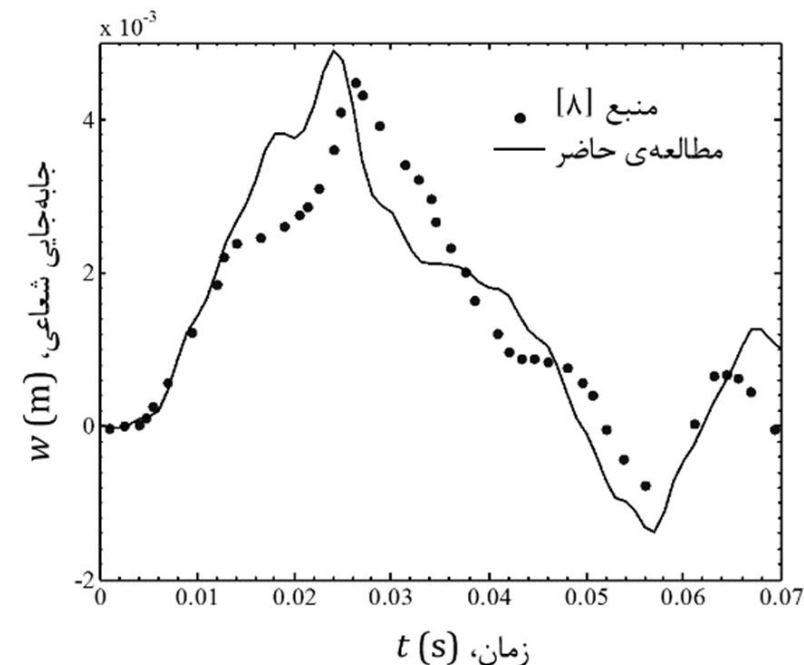
علت انتخاب چنین توزیع حجمی مواد، تشابه آن با الگوی ارائه شده در مرجع [8] می‌باشد. همچنین لایه هدفمند حاصل ترکیب دو ماده‌ی آلومینیم و زیرکونیا و لایه پیزوالکتریک از جنس PZT-4 می‌باشند. فرضیات و ابعاد هندسی ذکر شده در جدول 3 مطابق فرضیات مرجع [8] در نظر گرفته شده‌اند. شکل 2 مقایسه‌ی جابه‌جایی شعاعی به دست آمده با نتایج منبع [8] را نشان می‌دهد. چنان‌چه از شکل 2 مشاهده می‌شود، نتایج با هم انطباق خوبی داشته، از صحت و قابلیت روش حل اطمینان حاصل شده است.

8- نتایج بهینه‌سازی

با توجه به اینکه در عمل توزیع درصد حجمی مواد می‌تواند به صورت‌های مختلفی باشد، بهمین دلیل استفاده از توابع توزیع پیش‌فرض مثل توزیع توانی که در مرجع [8] مورد استفاده قرار گرفته است، نه تنها محدودیتی در روش حل اعمال می‌کند، بلکه امکان دسترسی به توزیع بهینه نیز بسیار محدود می‌شود. لذا در روش پیشنهادی از ترکیب نقاط کنترلی و میان‌یابی برای تعیین توزیع حجمی مواد استفاده شده است. پاسخ‌های مراحل بهینه‌سازی ضخامت و توزیع بهینه‌ی مواد در این بخش ارائه شده‌اند، با رابطه (50) به دست آمده‌اند. مشخصات مسئله در جدول 4 آمده است.

جدول 3 مشخصات مسئله [8]

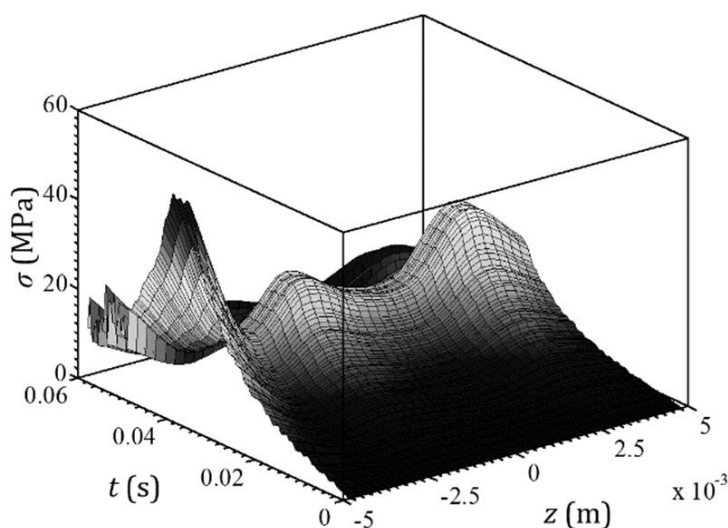
شعاع میانی پوسته	R (m)	1
ضخامت لایه هدفمند	h (m)	0/01
ضخامت لایه پیزوالکتریک	h_p (m)	0/001
زاویه اعمال بار	q	$\pi/4$
سرعت حرکت بار	V (m/s)	80
توان توزیع مواد	ϕ	1
نیروی متحرک	F (N)	50000



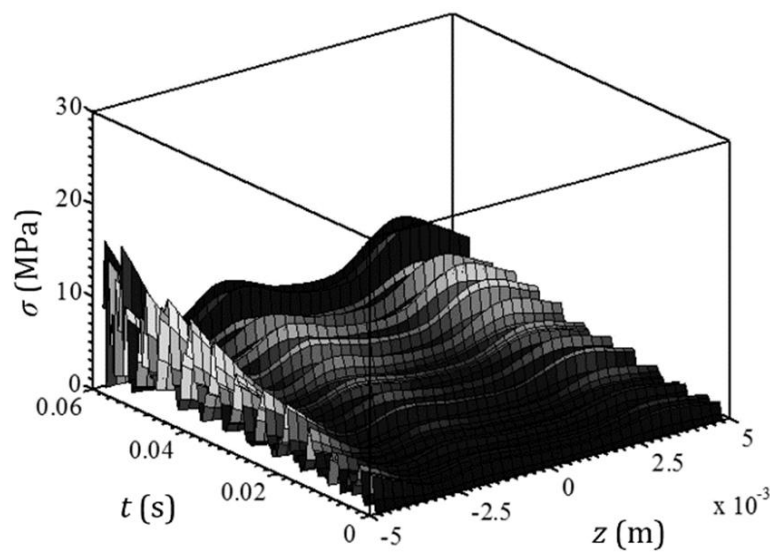
شکل 2 مقایسه نتایج منبع [8] با نتایج مطالعه حاضر

جدول 4 مشخصات مسئله حاضر

شعاع میانی پوسته	R (m)	1
ضخامت لایه پیزوالکتریک	h_p (m)	0/001
زاویه اعمال بار	q	$\pi/4$
سرعت حرکت بار	V (m/s)	50
نیروی متحرک	F (N)	500000
ضریب اطمینان	FS	1/5



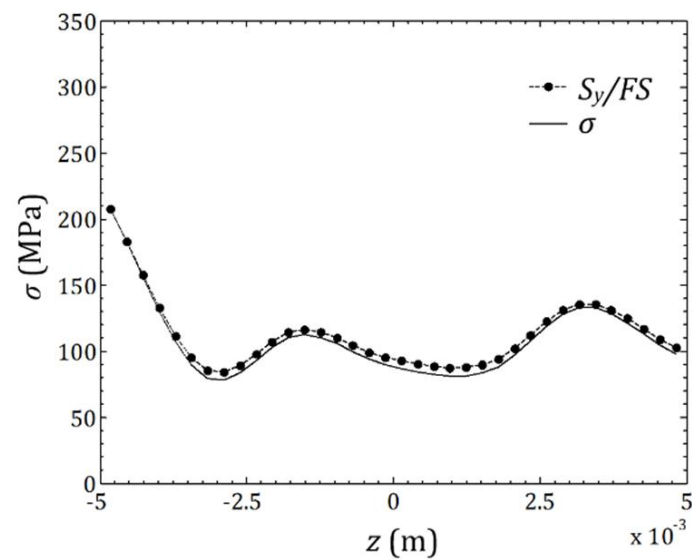
شکل 8 تغییرات توزیع تنش معادل با زمان در راستای ضخامت برای $x = \frac{L}{2}$, $q = \frac{p}{4}$



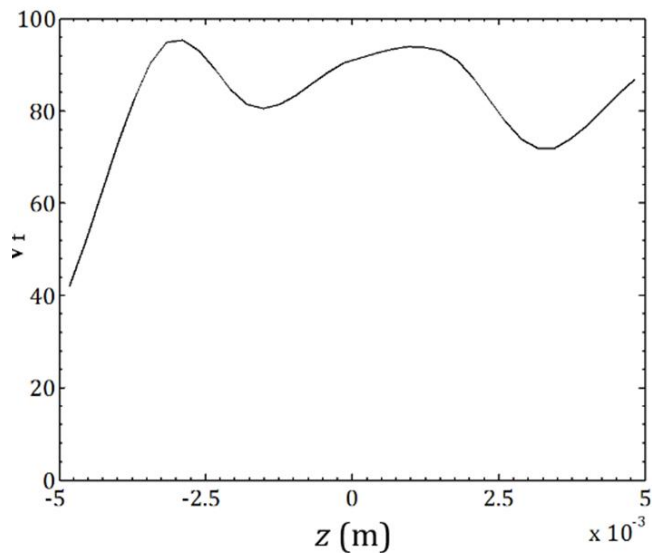
شکل 9 تغییرات توزیع تنش معادل با زمان در راستای ضخامت برای $x = L$, $q = \frac{p}{4}$
تعیین شده‌اند. از نتایج به دست آمده به منظور بهینه‌سازی نحوه توزیع مواد و
ضخامت لایه هدفمند استفاده شده است. بدین‌منظور از ترکیب روش نقاط
کنترلی با میان‌یابی به کمک توابع هرمیت استفاده شده است. نتایج، کارایی
روش پیشنهادی در بررسی رفتار مکانیکی و نیز بهینه سازی سازه‌های
پوسته‌ای هدفمند را نشان می‌دهد، به خصوص اینکه نیازی به استفاده از توابع
پیشفرض برای تعیین توزیع مواد وجود ندارد، چراکه استفاده از این توابع
محدودیتی در تعیین توزیع بهینه مواد را تحمیل می‌کنند. علاوه بر آن نشان
داده شده است که روش پیشنهادی دارای سرعت همگرایی مطلوب می‌باشد.
همچنین نتایج نشان می‌دهند که می‌توان توزیع بهینه‌ای از مواد به دست آورد
که از نظر استحکام بیشینه استفاده را داشته باشد. در حالی که روش‌های
متداول ارائه شده در ادبیات فن بهدلیل ماهیت آن‌ها که از توابع پیشفرض
نشأت می‌گیرند، قادر به تعیین توزیع مواد کاملاً بهینه نمی‌باشند.

10- پیوست

$$\begin{aligned} \bar{A}_{ij} &= A_{ij}^p + A_{ij} \\ \bar{B}_{ij} &= B_{ij}^p + B_{ij} \\ \bar{C}_{ij} &= C_{ij}^p + C_{ij} \\ \bar{D}_{ij} &= D_{ij}^p + D_{ij} \\ Q_{11e} &= Q_{11}^p - \frac{Q_{13}^p Q_{13}^p}{Q_{33}^p} \\ Q_{12e} &= Q_{12}^p - \frac{Q_{13}^p Q_{23}^p}{Q_{33}^p} \\ Q_{22e} &= Q_{22}^p - \frac{Q_{23}^p Q_{23}^p}{Q_{33}^p} \\ Q_{44e} &= Q_{44}^p \end{aligned}$$



شکل 5 مقایسه توزیع تنش به دست آمده با توزیع تنش تسليیم

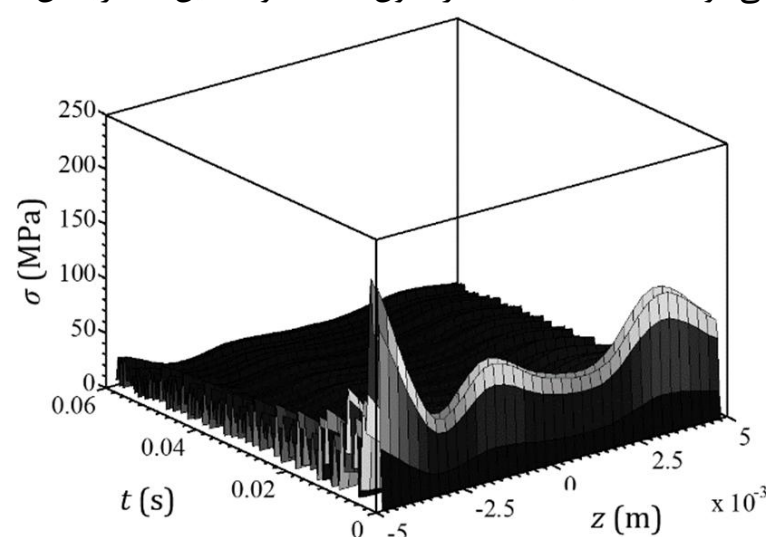


شکل 6 توزیع درصد حجمی ذرات سیلیکون کاربید در راستای ضخامت
تغییرات توزیع تنش با زمان در ضخامت پوسته، به ازای متغیرهای بهینه در
سه مقطع از طول پوسته (به ترتیب برای ابتداء، میانه و انتهای پوسته) در
شکل‌های 7، 8 و 9 قابل مشاهده‌اند.

چنان‌که در شکل‌های 7، 8 و 9 قابل مشاهده است، دیواره داخلی پوسته
و همچنین ابتدای آن بیشینه تنش را داشته و نقاط بحرانی پوسته را تشکیل
می‌دهند، به همین دلیل نیز در این نقاط از ترکیب ماده هدفمند با استحکام
بالا استفاده می‌شود.

9- نتیجه‌گیری

در این پژوهش ابتدا روش حل تحلیلی- عددی برای بررسی رفتار مکانیکی
پوسته‌ی ساخته شده از مواد هدفمند با لایه پیزوالکتریک که در معرض
بارهای متحرک می‌باشد، پیشنهاد شده است. در این روش از تئوری مرتبه
اول برشی و معادله ماقسول استفاده شده است. خصوصیات فیزیکی و
مکانیکی مواد هدفمند با استفاده از قانون اختلاط و هاشین- اشتريکمن



شکل 7 تغییرات توزیع تنش معادل با زمان در راستای ضخامت برای $x = 0$, $q = \frac{p}{4}$

$$\begin{aligned}
L_{46} &= \left[2e_{31e} \int_{\frac{h}{2}}^{\frac{h}{2}+h_p} zz_p dz - e_{15e} \int_{\frac{h}{2}}^{\frac{h}{2}+h_p} P(z_p) dz \right] \frac{\partial}{\partial x} \\
L_{32} &= \left(-\frac{\bar{C}_{55}}{R} + \frac{\bar{B}_{22}}{R^2} \right) \frac{\partial}{\partial \theta} \\
L_{55} &= \bar{D}_{66} \frac{\partial^2}{\partial x^2} + \frac{\bar{D}_{22}}{R^2} \frac{\partial^2}{\partial \theta^2} - \bar{C}_{55} \\
L_{56} &= \left[-e_{24e} \int_{\frac{h}{2}}^{\frac{h}{2}+h_p} \frac{P(z_p)}{R+z} dz + \frac{2e_{31e}}{R} \int_{\frac{h}{2}}^{\frac{h}{2}+h_p} zz_p dz \right] \frac{\partial}{\partial \theta} \\
L_{61} &= \frac{h_p e_{31e}}{R} \frac{\partial}{\partial x} \\
L_{62} &= \frac{h_p e_{32e}}{R^2} \frac{\partial}{\partial \theta} \\
L_{63} &= h_p e_{15e} \frac{\partial^2}{\partial x^2} + \frac{h_p e_{24e}}{R^2} \frac{\partial^2}{\partial \theta^2} + \frac{h_p e_{32e}}{R^2} \\
L_{64} &= \left(h_p e_{15e} + h_p e_{31e} + \frac{e_{31e}}{R} \int_{\frac{h}{2}}^{\frac{h}{2}+h_p} zdz \right) \frac{\partial}{\partial x} \\
L_{65} &= \left(\frac{h_p e_{24e}}{R} + \frac{h_p e_{32e}}{R} + \frac{e_{32e}}{R^2} \int_{\frac{h}{2}}^{\frac{h}{2}+h_p} zdz \right) \frac{\partial}{\partial \theta} \\
L_{66} &= -\xi_{11e} \int_{\frac{h}{2}}^{\frac{h}{2}+h_p} P(z_p) dz - \xi_{22e} \int_{\frac{h}{2}}^{\frac{h}{2}+h_p} \frac{P(z_p)}{R(R+z)} dz \frac{\partial^2}{\partial \theta^2} \\
&\quad - 2\xi_{33e} h_p - \frac{2\xi_{33e}}{R} \int_{\frac{h}{2}}^{\frac{h}{2}+h_p} z_p dz
\end{aligned}$$

$$L_{12} = L_{21}$$

$$L_{24} = L_{15}$$

$$L_{41} = L_{14}$$

$$L_{42} = L_{15} = L_{51}$$

$$L_{52} = L_{25}$$

$$L_{54} = L_{45}$$

مراجع - 11

- [1] M. Koizumi, FGM activities in Japan, *Composites Part B: Engineering*, Vol. 28, No. 1, pp. 1-4, 1997.
- [2] M. Wośko, B. Paszkiewicz, T. Piasecki, A. Szyszka, R. Paszkiewicz, M. Tłaczała, Application and modelling of functionally graded materials for optoelectronic devices, In *Proceedings of International Students and Young Scientists Workshop, Photonics and Microsystems*, pp. 87-9, 2005.
- [3] J. Fleig, K. Kreuer, J. Maier, *Handbook of Advanced Ceramics, Materials, Applications, and Processing*, pp. 1-60, 2003.
- [4] M. Ruzzene, A. Baz, Dynamic stability of periodic shells with moving loads, *Journal of Sound and Vibration*, Vol. 296, No. 4, pp. 830-844, 2006.
- [5] A. Jafari, H. Ghasvand, Dynamic response of a pseudoelastic shape memory alloy beam to a moving load, *Journal of Sound and Vibration*, Vol. 316, No. 1, pp. 69-86, 2008.
- [6] P. Malekzadeh, A. Fiouz, H. Razi, Three-dimensional dynamic analysis of laminated composite plates subjected to moving load, *Composite Structures*, Vol. 90, No. 2, pp. 105-114, 2009.
- [7] S. Khalili, A. Jafari, S. Eftekhari, A mixed Ritz-DQ method for forced vibration of functionally graded beams carrying moving loads, *Composite Structures*, Vol. 92, No. 10, pp. 2497-2511, 2010.
- [8] G. Sheng, X. Wang, Studies on dynamic behavior of functionally graded cylindrical shells with PZT layers under moving loads, *Journal of Sound and Vibration*, Vol. 323, No. 3, pp. 772-789, 2009.
- [9] K. Liew, X. He, S. Kitipornchai, Finite element method for the feedback control of FGM shells in the frequency domain via piezoelectric sensors and actuators, *Computer Methods in Applied Mechanics and Engineering*, Vol. 193, No. 3, pp. 257-273, 2004.
- [10] A. Alibeigloo, W. Chen, Elasticity solution for an FGM cylindrical panel integrated with piezoelectric layers, *European Journal of Mechanics-A/Solids*, Vol. 29, No. 4, pp. 714-723, 2010.
- [11] A. Alibeigloo, V. Nouri, Static analysis of functionally graded cylindrical shell with piezoelectric layers using differential quadrature method, *Composite Structures*, Vol. 92, No. 8, pp. 1775-1785, 2010.
- [12] R. A. Alashki, M. Khorsand, Three-dimensional thermo-elastic analysis of a functionally graded cylindrical shell with piezoelectric layers by

$$\begin{aligned}
Q_{55e} &= Q_{55}^p \\
Q_{66e} &= Q_{66}^p \\
e_{31e} &= e_{31} - \frac{Q_{13}^p e_{13}}{Q_{33}^p} \\
e_{32e} &= e_{32} - \frac{Q_{23}^p e_{33}}{Q_{33}^p} \\
e_{15e} &= e_{15} \\
e_{24e} &= e_{24} \\
\xi_{11e} &= \xi_{11} \\
\xi_{22e} &= \xi_{22} \\
\xi_{33e} &= \xi_{33} + \frac{e_{33}^2}{Q_{33}^E} \\
p_{xe} &= p_x \\
p_{\theta e} &= p_\theta \\
p_{ze} &= p_z \\
L_{11} &= \bar{A}_{11} \frac{\partial^2}{\partial x^2} + \frac{\bar{A}_{66}}{R^2} \frac{\partial^2}{\partial \theta^2} \\
L_{12} &= \frac{\bar{A}_{12} + \bar{A}_{66}}{R} \frac{\partial^2}{\partial x \partial \theta} \\
L_{13} &= \frac{\bar{A}_{12}}{R} \frac{\partial}{\partial x} \\
L_{14} &= \bar{B}_{11} \frac{\partial^2}{\partial x^2} + \frac{\bar{B}_{66}}{R^2} \frac{\partial^2}{\partial \theta^2} \\
L_{15} &= \frac{\bar{B}_{12} + \bar{B}_{66}}{R} \frac{\partial^2}{\partial x \partial \theta} \\
L_{16} &= 2e_{31e} \int_{\frac{h}{2}}^{\frac{h}{2}+h_p} z_p dz \frac{\partial}{\partial x} \\
L_{22} &= \bar{A}_{66} \frac{\partial^2}{\partial x^2} + \frac{\bar{A}_{22}}{R^2} \frac{\partial^2}{\partial \theta^2} - \frac{\bar{C}_{55}}{R^2} \\
L_{23} &= \frac{\bar{A}_{22} + \bar{C}_{55}}{R} \frac{\partial}{\partial \theta} \\
L_{25} &= \bar{B}_{66} \frac{\partial^2}{\partial x^2} + \frac{\bar{B}_{22}}{R^2} \frac{\partial^2}{\partial \theta^2} + \frac{\bar{C}_{55}}{R^2} \\
L_{26} &= \left[e_{24e} \int_{\frac{h}{2}}^{\frac{h}{2}+h_p} \frac{P(z_p)}{R+z} dz + 2e_{31e} \int_{\frac{h}{2}}^{\frac{h}{2}+h_p} z_p dz \right] \frac{\partial}{\partial \theta} \\
L_{31} &= -\frac{\bar{A}_{21}}{R} \frac{\partial}{\partial x} \\
L_{33} &= \bar{C}_{44} \frac{\partial^2}{\partial x^2} + \frac{\bar{C}_{55}}{R^2} \frac{\partial^2}{\partial \theta^2} - \frac{\bar{A}_{22}}{R^2} \\
L_{34} &= \bar{C}_{44} \frac{\partial}{\partial x} - \frac{\bar{B}_{21}}{R} \frac{\partial}{\partial \theta} \\
L_{35} &= \frac{\bar{C}_{55}}{R} \frac{\partial}{\partial \theta} - \frac{\bar{B}_{22}}{R^2} \frac{\partial}{\partial \theta} \\
L_{36} &= -\frac{2e_{32e}}{R} \int_{\frac{h}{2}}^{\frac{h}{2}+h_p} z_p dz + \frac{e_{24e}}{R} \int_{\frac{h}{2}}^{\frac{h}{2}+h_p} \frac{P(z_p)}{R+z} dz \frac{\partial^2}{\partial \theta^2} \\
&\quad + e_{15e} \int_{\frac{h}{2}}^{\frac{h}{2}+h_p} P(z_p) dz \frac{\partial^2}{\partial x^2} \\
L_{43} &= \left(\frac{\bar{B}_{12}}{R} - \bar{C}_{44} \right) \frac{\partial}{\partial x} \\
L_{44} &= \bar{D}_{11} \frac{\partial^2}{\partial x^2} + \frac{\bar{D}_{66}}{R^2} \frac{\partial^2}{\partial \theta^2} - \bar{C}_{44} \\
L_{45} &= \frac{\bar{D}_{12} + \bar{D}_{66}}{R} \frac{\partial^2}{\partial x \partial \theta}
\end{aligned}$$

- [26] A. J. Goupee, S. S. Vel, Two-dimensional optimization of material composition of functionally graded materials using meshless analyses and a genetic algorithm, *Computer methods in applied mechanics and engineering*, Vol. 195, No. 44, pp. 5926-5948, 2006.
- [27] M. Nemat-Alla, Reduction of thermal stresses by composition optimization of two-dimensional functionally graded materials, *Acta mechanica*, Vol. 208, No. 3-4, pp. 147-161, 2009.
- [28] M. Ashjari, M. Khoshravan, Mass optimization of functionally graded plate for mechanical loading in the presence of deflection and stress constraints, *Composite Structures*, Vol. 110, pp. 118-132, 2014.
- [29] A. Taheri, B. Hassani, N. Moghaddam, Thermo-elastic optimization of material distribution of functionally graded structures by an isogeometrical approach, *International Journal of Solids and Structures*, Vol. 51, No. 2, pp. 416-429, 2014.
- [30] G. G. Lorentz, *Bernstein polynomials*, American Mathematical Soc., 1953.
- [31] H.-S. Shen, *Functionally graded materials: nonlinear analysis of plates and shells*, CRC press, 2009.
- [32] JAHM Software, *Material Properties Database MPDB*, v7.59, 2012.
- [33] G. Sheng, X. Wang, Thermomechanical vibration analysis of a functionally graded shell with flowing fluid, *European Journal of Mechanics-A/Solids*, Vol. 27, No. 6, pp. 1075-1087, 2008.
- [34] F. Ramirez, P. R. Heyliger, E. Pan, Free vibration response of two-dimensional magneto-electro-elastic laminated plates, *Journal of Sound and Vibration*, Vol. 292, No. 3, pp. 626-644, 2006.
- [35] F. Vakili-Tahami, M. Zebsaz, A. Mohammad Alizadeh Fard, Multi-objective optimum design of an FG Al-SiC rotating disc with temperature dependent properties based on creep behavior, *Modares Mechanical Engineering*, Vol. 14, No. 12, pp. 23-34, 2014 (In Persian).
- [36] J. N. Reddy, *Mechanics of laminated composite plates and shells: theory and analysis*, CRC press, 2004.
- [37] S. Law, J. Bu, X. Zhu, S. Chan, Moving load identification on a simply supported orthotropic plate, *International Journal of Mechanical Sciences*, Vol. 49, No. 11, pp. 1262-1275, 2007.
- [38] S. S. Vel, B. P. Baillargeon, Analysis of static deformation, vibration and active damping of cylindrical composite shells with piezoelectric shear actuators, *Journal of Vibration and Acoustics*, Vol. 127, No. 4, pp. 395-407, 2005.
- [39] S.S. Law, X.Q. Zhu, *Moving loads: dynamic analysis and identification techniques*, CRC Press/Balkema, 2011.
- [40] R. L. Haupt, S. E. Haupt, *Practical genetic algorithms*, John Wiley & Sons, 2004.
- [41] differential quadrature method, *International Journal of Pressure Vessels and Piping*, Vol. 88, No. 5, pp. 167-180, 2011.
- [42] A. Jafari, S. Khalili, M. Tavakolian, Nonlinear vibration of functionally graded cylindrical shells embedded with a piezoelectric layer, *Thin-Walled Structures*, Vol. 79, pp. 8-15, 2014.
- [43] X. Kou, G. Parks, S. Tan, Optimal design of functionally graded materials using a procedural model and particle swarm optimization, *Computer-Aided Design*, Vol. 44, No. 4, pp. 300-310, 2012.
- [44] K.-S. Na, J.-H. Kim, Optimization of volume fractions for functionally graded panels considering stress and critical temperature, *Composite Structures*, Vol. 89, No. 4, pp. 509-516, 2009.
- [45] S. S. Vel, J. L. Pelletier, Multi-objective optimization of functionally graded thick shells for thermal loading, *Composite structures*, Vol. 81, No. 3, pp. 386-400, 2007.
- [46] A. J. Goupee, S. S. Vel, Two-dimensional optimization of material composition of functionally graded materials using meshless analyses and a genetic algorithm, *Computer methods in applied mechanics and engineering*, Vol. 195, No. 44, pp. 5926-5948, 2006.
- [47] A. J. Goupee, S. S. Vel, Multi-objective optimization of functionally graded materials with temperature-dependent material properties, *Materials and design*, Vol. 28, No. 6, pp. 1861-1879, 2007.
- [48] L. Qian, R. Batra, Design of bidirectional functionally graded plate for optimal natural frequencies, *Journal of Sound and Vibration*, Vol. 280, No. 1, pp. 415-424, 2005.
- [49] E. Magnucka-Blandzi, K. Magnucki, Effective design of a sandwich beam with a metal foam core, *Thin-Walled Structures*, Vol. 45, No. 4, pp. 432-438, 2007.
- [50] R. Lipton, Design of functionally graded composite structures in the presence of stress constraints, *International journal of solids and structures*, Vol. 39, No. 9, pp. 2575-2586, 2002.
- [51] A. Sadollah, A. Bahreininejad, Optimum gradient material for a functionally graded dental implant using metaheuristic algorithms, *Journal of the mechanical behavior of biomedical materials*, Vol. 4, No. 7, pp. 1384-1395, 2011.
- [52] J. Cho, D. Ha, Volume fraction optimization for minimizing thermal stress in Ni-Al₂O₃ functionally graded materials, *Materials Science and Engineering: A*, Vol. 334, No. 1, pp. 147-155, 2002.
- [53] J. Cho, D. Ha, Volume fraction optimization for minimizing thermal stress in Ni-Al₂O₃ functionally graded materials, *Materials Science and Engineering: A*, Vol. 334, No. 1, pp. 147-155, 2002.
- [54] L. Qian, R. Batra, Design of bidirectional functionally graded plate for optimal natural frequencies, *Journal of Sound and Vibration*, Vol. 280, No. 1, pp. 415-424, 2005.